

Rundes Helmholtz-Spulenpaar

Circular Helmholtz Coils



| Technische Daten: | | Specifications: |
|---|--------------------------------------|---|
| Windungszahl (pro Spule): | 536 | Number of turns (per Coil): |
| Maximaler Spulenstrom: | 15 A, 5 min. | Maximum coil current: |
| Spulenstrom, nominell: | 5 A continuous | Nominal coil current: |
| Spulenabstand: | 143 mm | Coil spacing: |
| Max. Magn. Feldstärke: | 42 kA/m, 5 min. | Maximum magnetic field strength: |
| Magn. Nennfeldstärke: | 14 kA/m continuous | Nominal magnetic field strength: |
| Magn. Feldstärke bei 1 A Spulenstrom: | 2780 A/m 188.9 dB μ A/m | Magnetic field strength @ 1 A Coil Current: |
| Erforderlicher Strom für 1 A/m: | 0.36 mA | Current required for 1 A/m: |
| Wandlungsmaß Strom-Feldstärke (Spulenfaktor): | 68.9 dB/m | Conversion Current-Fieldstrength (Coil factor): |
| Spulen-Durchmesser: | 256 mm | Coil diameter: |
| Abmessungen: | 0.41m x 0.32m x 0.25m | Mechanical dimensions: |
| Anschlüsse: | 4 mm banana jacks Screw terminals | Terminals: |
| Nutzbarer Frequenzbereich: | DC – 2 kHz | Usable frequency range: |
| Induktivität (pro Spule): | typ. 82 mH @ 50 Hz | Inductance (per coil): |
| Induktivität (Spulenpaar): | typ. 188 mH @ 50 Hz | Inductance (pair of coils): |
| Wirkwiderstand (pro Spule): | 2.75 Ω | Resistance (per coil): |
| Windungskapazität (Spulenpaar): | ~0.8 nF | Coil capacitance (pair of coils): |
| Resonanzfrequenz (Spulenpaar): | > 10 kHz (typ. 13 kHz) | Resonance frequency (Pair of coils): |
| Gewicht: | 35 kg | Weight: |

Beschreibung:

Das Helmholtz-Spulenpaar eignet sich zur Erzeugung exakt definierter magnetischer Felder von DC bis in den unteren Audiofrequenzbereich. Die erzeugte Feldstärke steht in streng linearem Zusammenhang zum Spulenstrom. Aus der Spulengeometrie, dem Strom und der Windungszahl lässt sich die resultierende Feldstärke exakt analytisch (oder auch numerisch) berechnen. Daher ist die HHS 5203-536 ideal für Kalibrierungen von Magnetfeldsonden und Störfestigkeitsprüfungen einsetzbar. Aufgrund der thermisch hochbelastbaren Kupferlack-Bewicklung lassen sich (kurzzeitig) magnetische Felder bis über 40 kA/m erzeugen. Typische Anwendungsfälle sind Immunitätsprüfungen im KFZ-Bereich und nach MIL STD 461. Bei der Felderzeugung mit Helmholtzspulen ist die magnetische Feldstärke streng proportional zum Spulenstrom. Letztendlich lässt sich die Kalibrierung der Magnetfeldstärke auf eine Strommessung (oder z.B. auf den Spannungsabfall an einem bekannten Vorwiderstand) zurückführen.

Die Helmholtzspule selbst wird wegen des einfachen Zusammenhangs zwischen Strom und Feldstärke in der Regel nicht kalibriert sondern gilt als Primärnormal. Ansonsten können die erzeugten Feldstärken auch mit Feldspulen oder Sensorspulen nachgemessen werden.

Inbetriebnahme:

Die Helmholtzspule sollte in ausreichendem Abstand von möglichen Magnetfeldquellen (z.B. Transformatoren in Netzteilen von Messgeräten, stromdurchflossenen Leitern, Bildschirmen, Oszilloskopröhren, Elektromotoren, Lautsprechern usw.) auf einem Tisch positioniert werden. Alle magnetischen Metallteile (d.h. Eisen / Stahl, Kobalt und Nickel) sollten aus der unmittelbaren Spulenumgebung entfernt werden. Die Anschlussleitungen vom Generator zur Helmholtzspule sollten verdrillt werden, um unerwünschte Einkopplungen magnetischer Flüsse zu vermeiden. Die Klemmen der Spule sind mit Kennbuchstaben A, B, C und D gekennzeichnet. Der Generator (Stromquelle, Audio-Verstärker ...) wird mit den Klemmen A und D der Spule verbunden.

Das kurze, mitgelieferte Kabel verbindet die Klemmen B und C.

Description:

Helmholtz-Coils are especially designed to generate precisely defined magnetic fields from DC to the middle of the audio frequency range. The generated fields are in a strongly linear relation to the coil current. The field strength can be calculated exactly by analytical (or numerical) methods, based on the coils' geometry, the number of turns and the coil current. Therefore the HHS 5203-536 is ideally suited for the calibration of magnetic field probes or sensors and immunity tests. Due to the high temperature proof coated copper wire packet it is possible to generate magnetic fields up to more than 40 kA/m (for a short time). Typical applications are magnetic immunity testing according to automotive standards or MIL STD 461. When generating magnetic fields with Helmholtz coils the coil current is directly proportional to the magnetic field strength.

The calibration of the magnetic field is finally traceable to a current measurement (or to a voltage drop at a known resistor).

The Helmholtz Coil itself is usually considered as primary standard due to the easily calculable relation between current and field strength. If this relation should be controlled, a loop sensor or monitoring loop can be used to determine the actual field strength.

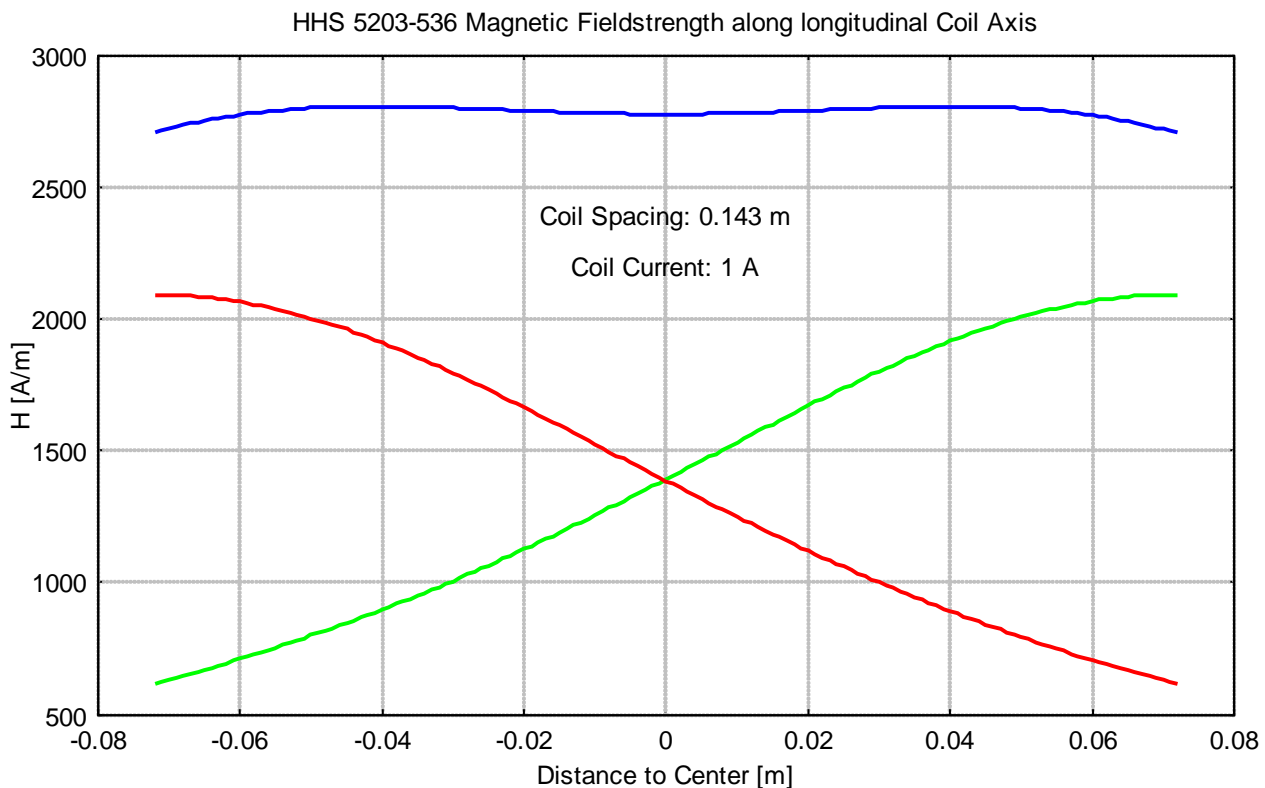
Installation:

The Helmholtz-Coils should be installed on a desk in a sufficiently large separation from sources of unintentional magnetic fields, e.g. transformers in power supplies, conductors carrying high currents, computer monitors, loudspeakers, cathode ray tubes (CRT) and so on. All kinds of magnetic material (e.g. steel, nickel, cobalt) should be removed from the near surrounding of the coil. The wires which are used to connect the current source with the Helmholtz-Coil should be twisted to avoid an unwanted injection of magnetic flux.

The coil terminals are assigned with the characters A, B, C and D. The generator (current source, audio-amplifier...) is connected to the terminals A and D, the terminals B and C are connected with the short cable supplied with the coil.

Zur Kontrolle der Verkabelung kann die magnetische Feldstärke im Innern des Spulenpaars gemessen werden. Bei falschem Anschluss wird genau in der Mitte zwischen den Spulen ein starker Feldstärkeabfall festzustellen sein, da sich die Felder der Spulen gegenseitig aufheben.

An additional verification of the wiring can be done by measuring the magnetic field-strength between the coils. Assuming a wrong connection, the fieldstrength decays very sharply in the center between the coils, because the fields compensate each other.



| Längskomponente der magnetischen Feldstärke H entlang der Spulenlängssachse Magnet. Fieldstrength H, longitudinal component along rotational axis | | | | | | |
|--|----------------|----------------|------------------|----------------|----------------|------------------|
| Abstand zur Spulenmitte <i>Distance to Coil Center</i> | H ₁ | H ₂ | H _{ges} | H ₁ | H ₂ | H _{ges} |
| | cm | A/m | A/m | A/m | dB μ A/m | dB μ A/m |
| 0.0 | 1393.191 | 1386.245 | 2779.436 | 182.88 | 182.84 | 188.88 |
| 0.1 | 1407.110 | 1372.382 | 2779.493 | 182.97 | 182.75 | 188.88 |
| 0.2 | 1421.062 | 1358.562 | 2779.625 | 183.05 | 182.66 | 188.88 |
| 0.3 | 1435.042 | 1344.790 | 2779.832 | 183.14 | 182.57 | 188.88 |
| 0.4 | 1449.045 | 1331.068 | 2780.113 | 183.22 | 182.48 | 188.88 |
| 0.5 | 1463.066 | 1317.401 | 2780.467 | 183.31 | 182.39 | 188.88 |
| 0.6 | 1477.100 | 1303.792 | 2780.892 | 183.39 | 182.30 | 188.88 |
| 0.7 | 1491.143 | 1290.244 | 2781.387 | 183.47 | 182.21 | 188.89 |
| 0.8 | 1505.188 | 1276.762 | 2781.950 | 183.55 | 182.12 | 188.89 |



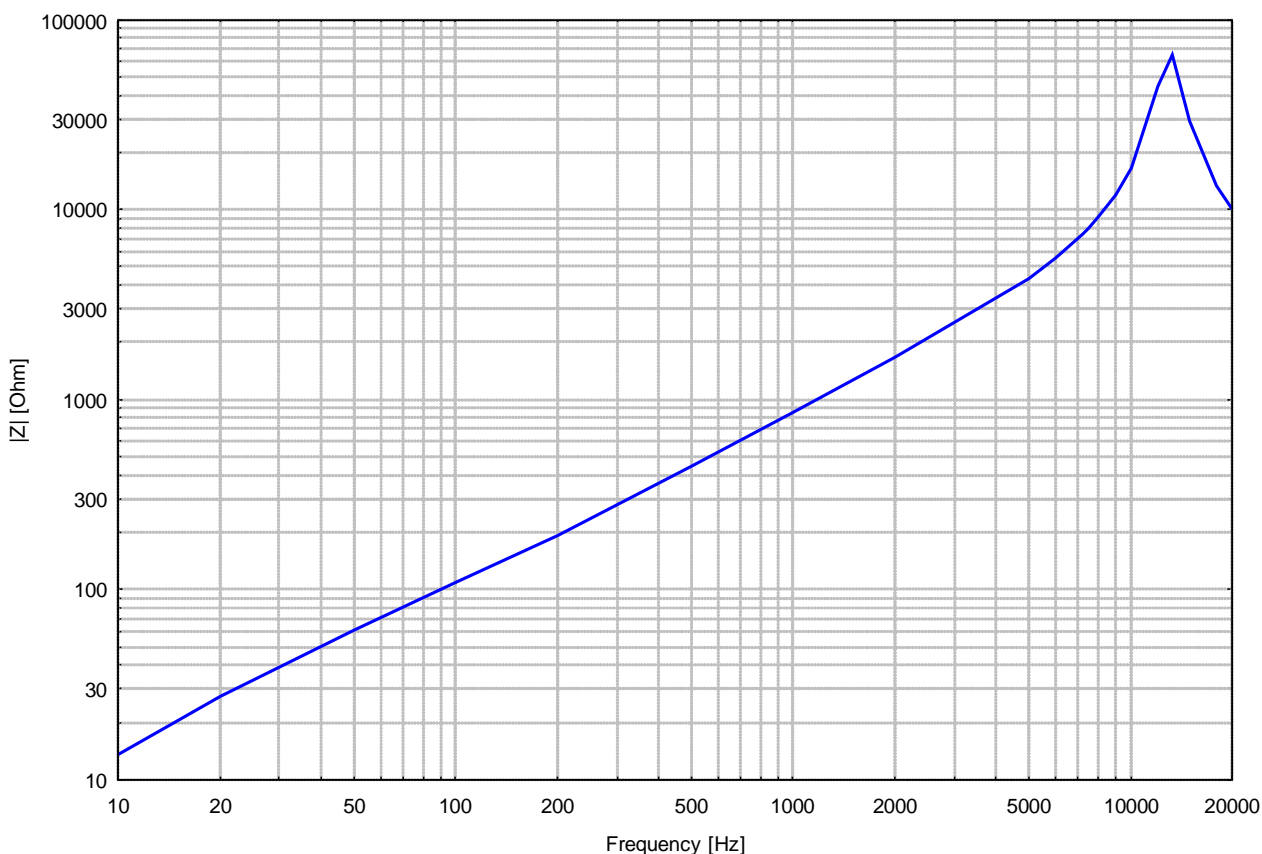
| Längskomponente der magnetischen Feldstärke H entlang der Spulenlängsachse <i>Magnet. Fieldstrength H, longitudinal component along rotational axis</i> | | | | | | |
|--|----------------|----------------|------------------|---------------------|---------------------|---------------------|
| Abstand zur Spulenmitte <i>Distance to Coil Center</i> | H ₁ | H ₂ | H _{ges} | H ₁ | H ₂ | H _{ges} |
| cm | A/m | A/m | A/m | dB _μ A/m | dB _μ A/m | dB _μ A/m |
| 0.9 | 1519.230 | 1263.347 | 2782.577 | 183.63 | 182.03 | 188.89 |
| 1.0 | 1533.264 | 1250.004 | 2783.268 | 183.71 | 181.94 | 188.89 |
| 1.1 | 1547.283 | 1236.734 | 2784.018 | 183.79 | 181.85 | 188.89 |
| 1.2 | 1561.283 | 1223.541 | 2784.824 | 183.87 | 181.75 | 188.90 |
| 1.3 | 1575.256 | 1210.427 | 2785.683 | 183.95 | 181.66 | 188.90 |
| 1.4 | 1589.197 | 1197.394 | 2786.591 | 184.02 | 181.56 | 188.90 |
| 1.5 | 1603.099 | 1184.445 | 2787.544 | 184.10 | 181.47 | 188.90 |
| 1.6 | 1616.956 | 1171.583 | 2788.538 | 184.17 | 181.38 | 188.91 |
| 1.7 | 1630.760 | 1158.808 | 2789.568 | 184.25 | 181.28 | 188.91 |
| 1.8 | 1644.506 | 1146.123 | 2790.629 | 184.32 | 181.18 | 188.91 |
| 1.9 | 1658.186 | 1133.530 | 2791.716 | 184.39 | 181.09 | 188.92 |
| 2.0 | 1671.793 | 1121.031 | 2792.824 | 184.46 | 180.99 | 188.92 |
| 2.1 | 1685.320 | 1108.627 | 2793.948 | 184.53 | 180.90 | 188.92 |
| 2.2 | 1698.760 | 1096.320 | 2795.080 | 184.60 | 180.80 | 188.93 |
| 2.3 | 1712.106 | 1084.110 | 2796.216 | 184.67 | 180.70 | 188.93 |
| 2.4 | 1725.349 | 1072.000 | 2797.350 | 184.74 | 180.60 | 188.93 |
| 2.5 | 1738.483 | 1059.991 | 2798.474 | 184.80 | 180.51 | 188.94 |
| 2.6 | 1751.500 | 1048.083 | 2799.582 | 184.87 | 180.41 | 188.94 |
| 2.7 | 1764.391 | 1036.277 | 2800.668 | 184.93 | 180.31 | 188.95 |
| 2.8 | 1777.150 | 1024.575 | 2801.725 | 184.99 | 180.21 | 188.95 |
| 2.9 | 1789.768 | 1012.978 | 2802.745 | 185.06 | 180.11 | 188.95 |
| 3.0 | 1802.237 | 1001.485 | 2803.722 | 185.12 | 180.01 | 188.95 |
| 3.1 | 1814.550 | 990.098 | 2804.647 | 185.18 | 179.91 | 188.96 |
| 3.2 | 1826.698 | 978.817 | 2805.515 | 185.23 | 179.81 | 188.96 |
| 3.3 | 1838.673 | 967.643 | 2806.316 | 185.29 | 179.71 | 188.96 |
| 3.4 | 1850.468 | 956.576 | 2807.044 | 185.35 | 179.61 | 188.96 |
| 3.5 | 1862.074 | 945.616 | 2807.690 | 185.40 | 179.51 | 188.97 |
| 3.6 | 1873.483 | 934.764 | 2808.248 | 185.45 | 179.41 | 188.97 |
| 3.7 | 1884.688 | 924.020 | 2808.708 | 185.50 | 179.31 | 188.97 |
| 3.8 | 1895.679 | 913.384 | 2809.063 | 185.56 | 179.21 | 188.97 |
| 3.9 | 1906.451 | 902.856 | 2809.307 | 185.60 | 179.11 | 188.97 |
| 4.0 | 1916.993 | 892.436 | 2809.429 | 185.65 | 179.01 | 188.97 |
| 4.1 | 1927.299 | 882.125 | 2809.424 | 185.70 | 178.91 | 188.97 |
| 4.2 | 1937.361 | 871.921 | 2809.282 | 185.74 | 178.81 | 188.97 |
| 4.3 | 1947.170 | 861.826 | 2808.996 | 185.79 | 178.71 | 188.97 |
| 4.4 | 1956.721 | 851.837 | 2808.558 | 185.83 | 178.61 | 188.97 |
| 4.5 | 1966.004 | 841.957 | 2807.961 | 185.87 | 178.51 | 188.97 |
| 4.6 | 1975.014 | 832.183 | 2807.197 | 185.91 | 178.40 | 188.97 |
| 4.7 | 1983.741 | 822.517 | 2806.258 | 185.95 | 178.30 | 188.96 |
| 4.8 | 1992.181 | 812.957 | 2805.137 | 185.99 | 178.20 | 188.96 |
| 4.9 | 2000.325 | 803.503 | 2803.828 | 186.02 | 178.10 | 188.96 |
| 5.0 | 2008.167 | 794.154 | 2802.321 | 186.06 | 178.00 | 188.95 |
| 5.1 | 2015.700 | 784.911 | 2800.611 | 186.09 | 177.90 | 188.95 |
| 5.2 | 2022.919 | 775.772 | 2798.691 | 186.12 | 177.79 | 188.94 |
| 5.3 | 2029.816 | 766.738 | 2796.554 | 186.15 | 177.69 | 188.93 |
| 5.4 | 2036.387 | 757.807 | 2794.194 | 186.18 | 177.59 | 188.93 |
| 5.5 | 2042.626 | 748.979 | 2791.604 | 186.20 | 177.49 | 188.92 |
| 5.6 | 2048.526 | 740.253 | 2788.779 | 186.23 | 177.39 | 188.91 |
| 5.7 | 2054.084 | 731.629 | 2785.713 | 186.25 | 177.29 | 188.90 |
| 5.8 | 2059.294 | 723.106 | 2782.400 | 186.27 | 177.18 | 188.89 |



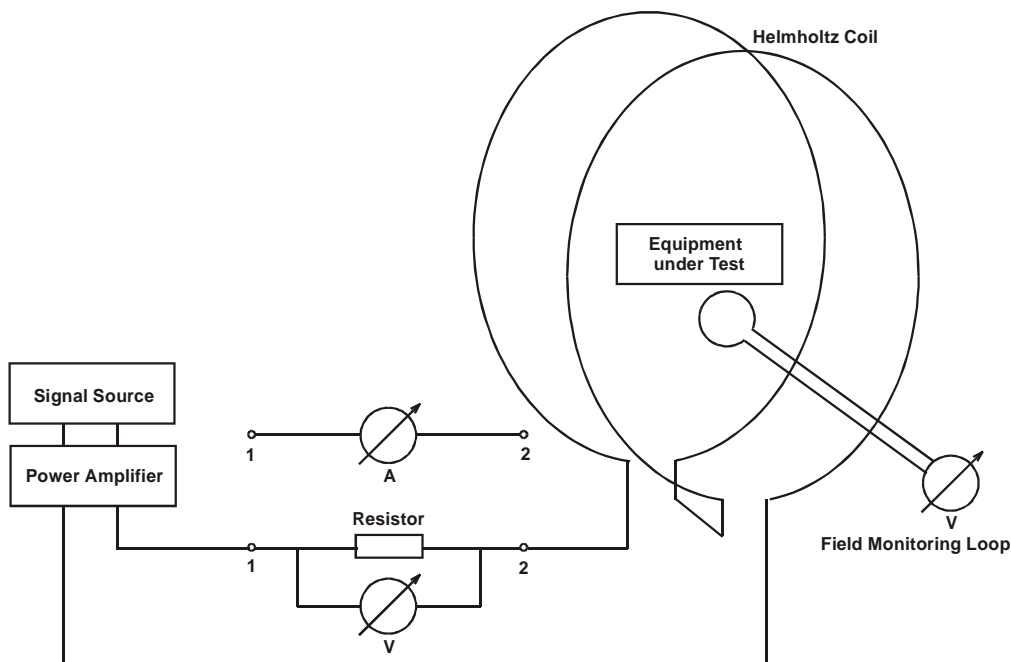
| Längskomponente der magnetischen Feldstärke H entlang der Spulenlängsachse <i>Magnet. Fieldstrength H, longitudinal component along rotational axis</i> | | | | | | |
|--|----------------|----------------|------------------|---------------------|---------------------|---------------------|
| Abstand zur Spulenmitte <i>Distance to Coil Center</i> | H ₁ | H ₂ | H _{ges} | H ₁ | H ₂ | H _{ges} |
| cm | A/m | A/m | A/m | dB _μ A/m | dB _μ A/m | dB _μ A/m |
| 5.9 | 2064.151 | 714.683 | 2778.834 | 186.29 | 177.08 | 188.88 |
| 6.0 | 2068.652 | 706.360 | 2775.012 | 186.31 | 176.98 | 188.87 |
| 6.1 | 2072.792 | 698.135 | 2770.928 | 186.33 | 176.88 | 188.85 |
| 6.2 | 2076.568 | 690.009 | 2766.577 | 186.35 | 176.78 | 188.84 |
| 6.3 | 2079.976 | 681.980 | 2761.956 | 186.36 | 176.68 | 188.82 |
| 6.4 | 2083.013 | 674.047 | 2757.061 | 186.37 | 176.57 | 188.81 |
| 6.5 | 2085.677 | 666.211 | 2751.887 | 186.38 | 176.47 | 188.79 |
| 6.6 | 2087.964 | 658.469 | 2746.433 | 186.39 | 176.37 | 188.78 |
| 6.7 | 2089.874 | 650.821 | 2740.695 | 186.40 | 176.27 | 188.76 |
| 6.8 | 2091.404 | 643.266 | 2734.670 | 186.41 | 176.17 | 188.74 |
| 6.9 | 2092.552 | 635.804 | 2728.357 | 186.41 | 176.07 | 188.72 |
| 7.0 | 2093.319 | 628.434 | 2721.752 | 186.42 | 175.97 | 188.70 |
| 7.1 | 2093.702 | 621.154 | 2714.856 | 186.42 | 175.86 | 188.67 |
| 7.2 | 2093.702 | 613.964 | 2707.667 | 186.42 | 175.76 | 188.65 |

Spulenstrom: 1 A, Spulenabstand: 143 mm
Coil Current: 1 A, Coil Separation: 143 mm

Betrag der Klemmenimpedanz (Spulenpaar)
Magnitude of Coil Impedance (Pair)



Typischer Messaufbau bei Magnetfeld-Immunitätsprüfungen
Typical Test Setup for Immunity against magnetic fields



Feldstärkebestimmung:

Zur Bestimmung der Magnetfeldstärke eignen sich im wesentlichen zwei Verfahren:

1. Bestimmung des Spulenstroms

- mit kalibriertem Stromwandler,
- durch Messung des Spannungsabfalls an einem bekannten Vorwiderstand,
- direkte Strommessung.

2. Bestimmung der Feldstärke mit Hilfe einer Sensorspule.

Die direkte Strommessung hat den Nachteil, dass die Messgeräte bei hohen Dauerströmen recht heiß werden, was zu erhöhter Messunsicherheit und sogar zur Zerstörung führen kann.

Die Messung mit einem Stromwandler ist thermisch unkritisch und darüber hinaus kann eine Potentialtrennung zwischen Messkreis und Verstärker-ausgangskreis erreicht werden.

Bei der Messung des Spannungsabfalls an einem bekannten Vorwiderstand (z.B. 100 mΩ / 20 W bis ca. 14 A oder auch 10 mΩ / 20 W für höchste Ströme) muss für ausreichende Wärmeabfuhr (Kühlkörper) und Potentialtrennung bei netzbetriebenen Messgeräten gesorgt werden. Bei kleinen Shuntwiderständen entsteht zwar weniger Wärme, jedoch können unerwünschte

Field strength determination:

There are two methods to determine the actual magnetic field strength:

1. Determination of the coil current

- *Current transformer clamp,*
- *Measuring the voltage drop across a well-known resistor,*
- *Direct current measurement.*

2. Determination of the field strength using a field monitoring loop.

The direct current measurement has the disadvantage that the measurement equipment itself heats up, which leads to increased measurement uncertainty or even destruction.

The use of a calibrated current transformer clamp has two advantages: it is floating (potential isolation between measuring circuitry and amplifier output circuitry) and without thermal stress.

In cases where the voltage drop across a known resistor (e.g. 100 mΩ / 20 W up to 14 A or 10 mΩ for highest currents) is measured, it is essential to provide sufficient cooling and potential isolation of mains driven voltmeters. Using small shunt resistor values causes less heat dissipation may however cause higher

Übergangswiderstände schnell in die Größenordnung des Shuntwiderstandes kommen und damit unnötig hohe Messunsicherheit erzeugen. Bei Frequenzen ab einigen kHz kann die Induktivität des Shunts nicht mehr vernachlässigt werden, es empfiehlt sich daher mit Shunt zu messen, dessen Impedanz Z bekannt ist, z.B. der SHUNT 9571.

Bei der Feldstärkebestimmung mit Hilfe einer Sensorspule erreicht man ebenfalls Potentialtrennung und thermisch unkritische Verhältnisse. Die FESP 5133-7/41 oder FESP 5134-40 sind für diesen Zweck geeignet.

measurement uncertainties because the wanted shunt resistance is hardly higher than unwanted contact resistances. Beyond several kHz the inductance of the shunt resistor may become dominant. For that reason a low inductive shunt resistor with well-known impedance Z like the SHUNT 9571 should be used.

The determination of the magnetic field strength using a sensor loop (field monitoring loop) allows also potential isolation without temperature stress. The FESP 5133-7/41 or the FESP 5134-40 are suitable for this purpose.



Nützliche Umrechnungen für Magnetfelder
Useful conversions for magnetic fields

| B[μ T] | B[mT] | B[G] | H[A/m] | H[dB μ A/m] | H[dBpT] |
|-------------|-----------|------------|-------------|-----------------|---------|
| 0.100 | 0.0001 | 0.0010 | 0.0796 | 98.02 | 100.00 |
| 0.126 | 0.0001 | 0.0013 | 0.1000 | 100.00 | 101.98 |
| 0.500 | 0.0005 | 0.0050 | 0.3979 | 112.00 | 113.98 |
| 1.000 | 0.0010 | 0.0100 | 0.7958 | 118.02 | 120.00 |
| 1.257 | 0.0013 | 0.0126 | 1.0000 | 120.00 | 121.98 |
| 2.000 | 0.0020 | 0.0200 | 1.5916 | 124.04 | 126.02 |
| 2.513 | 0.0025 | 0.0251 | 2.0000 | 126.02 | 128.00 |
| 5.000 | 0.0050 | 0.0500 | 3.9790 | 132.00 | 133.98 |
| 6.283 | 0.0063 | 0.0628 | 5.0000 | 133.98 | 135.96 |
| 10.000 | 0.0100 | 0.1000 | 7.9580 | 138.02 | 140.00 |
| 12.570 | 0.0126 | 0.1257 | 10.0000 | 140.00 | 141.98 |
| 20.000 | 0.0200 | 0.2000 | 15.9200 | 144.04 | 146.02 |
| 25.130 | 0.0251 | 0.2513 | 20.0000 | 146.02 | 148.00 |
| 50.000 | 0.0500 | 0.5000 | 39.7900 | 152.00 | 153.98 |
| 62.830 | 0.0628 | 0.6283 | 50.0000 | 153.98 | 155.96 |
| 100.000 | 0.1000 | 1.0000 | 79.5800 | 158.02 | 160.00 |
| 125.660 | 0.1257 | 1.2570 | 100.0000 | 160.00 | 161.98 |
| 200.000 | 0.2000 | 2.0000 | 159.1600 | 164.04 | 166.02 |
| 251.320 | 0.2513 | 2.5130 | 200.0000 | 166.02 | 168.00 |
| 500.000 | 0.5000 | 5.0000 | 397.9000 | 172.00 | 173.98 |
| 628.300 | 0.6283 | 6.2830 | 500.0000 | 173.98 | 175.96 |
| 1000.000 | 1.0000 | 10.0000 | 795.8000 | 178.02 | 180.00 |
| 1256.600 | 1.2570 | 12.5700 | 1000.0000 | 180.00 | 181.98 |
| 2000.000 | 2.0000 | 20.0000 | 1591.6000 | 184.04 | 186.02 |
| 2513.200 | 2.5130 | 25.1300 | 2000.0000 | 186.02 | 188.00 |
| 5000.000 | 5.0000 | 50.0000 | 3979.0000 | 192.00 | 193.98 |
| 6283.000 | 6.2830 | 62.8300 | 5000.0000 | 193.98 | 195.96 |
| 10000.000 | 10.0000 | 100.0000 | 7958.0000 | 198.02 | 200.00 |
| 12566.000 | 12.5660 | 125.6600 | 10000.0000 | 200.00 | 201.98 |
| 20000.000 | 20.0000 | 200.0000 | 15916.0000 | 204.04 | 206.02 |
| 25131.900 | 25.1320 | 251.3200 | 20000.0000 | 206.02 | 208.00 |
| 50000.000 | 50.0000 | 500.0000 | 39790.0000 | 212.00 | 213.98 |
| 62829.900 | 62.8300 | 628.3000 | 50000.0000 | 213.98 | 215.96 |
| 100000.000 | 100.0000 | 1000.0000 | 79580.0000 | 218.02 | 220.00 |
| 125660.000 | 125.6600 | 1256.6000 | 100000.0000 | 220.00 | 221.98 |
| 200000.000 | 200.0000 | 2000.0000 | 159160.0000 | 224.04 | 226.02 |
| 251319.000 | 251.3200 | 2513.1900 | 200000.0000 | 226.02 | 228.00 |
| 500000.000 | 500.0000 | 5000.0000 | 397900.0000 | 232.00 | 233.98 |
| 628299.000 | 628.3000 | 6282.9900 | 500000.0000 | 233.98 | 235.96 |
| 1000000.000 | 1000.0000 | 10000.0000 | 795800.0000 | 238.02 | 240.00 |